

Нарушение симметрии в туннельных переходах между частично диэлектризованными металлами с волнами зарядовой или спиновой плотности

© А.И. Войтенко, А.М. Габович

Институт физики Академии наук Украины,
252650 Киев, Украина

(Поступила в Редакцию 30 июля 1997 г.)

Рассчитаны туннельные вольт-амперные характеристики (ВАХ) для симметричных переходов между металлами с волнами зарядовой или спиновой плотности, обладающими равными по модулю диэлектрическими параметрами порядка $|\Sigma|$. Учитывается возможность различных знаков Σ по обе стороны перехода. В результате ВАХ оказываются существенно асимметричными. Предсказанный эффект является новым примером нарушения симметрии в многочастичных системах и позволяет объяснить экспериментальные результаты для симметричных микроконтактов $URu_2Si_2-URu_2Si_2$.

В металлах с волнами зарядовой (ВЗП) или спиновой (ВСП) плотности при температурах ниже температуры перехода T_{tr} (температуры структурного перехода T_d для ВЗП или температуры Нееля T_N для ВСП) на конгруэнтных (nested) участках поверхности Ферми (ПФ) возникает диэлектрическая щель $|\Sigma|$. В связи с этим свойства металлов с полностью или частично диэлектризованной ПФ и сверхпроводников во многом сходны [1]. Подобный вывод особенно касается "полупроводниковых" аспектов модели Бардина-Купера-Шриффера (БКШ) для сверхпроводников и моделей пайерлсовского или экситонного диэлектрика. Однако когерентные свойства этих двух типов состояний коллективной природы весьма различны [2].

Как хорошо известно [3], теория БКШ и ее обобщения предсказывают симметричные вольт-амперные характеристики (ВАХ) как для симметричных, так и для несимметричных туннельных переходов с участием сверхпроводников. Эксперимент в полной мере согласуется с такими выводами. В частности, симметричные ВАХ наблюдаются для несимметричных переходов сверхпроводник-диэлектрик-нормальный металл (S-I-N) [3].

В отсутствие сверхпроводимости туннельные характеристики ВЗП- и ВСП-металлов совершенно одинаковы, и мы будем использовать аббревиатуру ВЗСП. Как было показано нами ранее [4], туннельные ВАХ несимметричных контактов N-I-DM, где DM означает частично диэлектризованный ВЗСП-металл, должны быть несимметричными по напряжению на переходе V при $T < T_{tr}$. Рассмотрение основывалось на модели Билбро-Мак-Миллана [5] частично диэлектризованного сверхпроводника (см. также [6,7]). В то же время при $T > T_{tr}$ диэлектрическая щель в электронном спектре отсутствует, и соответствующие ВАХ симметричны по V .

С другой стороны, рассмотрение ВЗСП [8] в рамках анизотропной модели Хаббарда с учетом неидеальной конгруэнтности приводит к сложной перестройке электронного спектра ниже T_{tr} , зависящей от соотношения между энергетическим параметром ε_a и $|\Sigma|$. В частности, щелевой характер спектра исчезает при

$\varepsilon_a > |\Sigma|$. Однако ВАХ для переходов N-I-DM остаются симметричными в рамках теории [8], что не позволяет объяснить экспериментальные ВАХ для несимметричных туннельных и точечных контактов с ВЗП-металлами $NbSe_3$ [9,10], $TiSe_{2-x}S_x$ [11], $K_{0.3}MoO_3$ [12] или ВСП-металлом URu_2Si_2 [13,14]. В то же время эти характеристики хорошо согласуются с нашими результатами [4].

Положение вещей оказывается еще более запутанным для симметричных DM-I-DM-переходов. Измерения для точечных контактов $URu_2Si_2-URu_2Si_2$ [13,15] показали, что даже в этом случае ВАХ могут быть несимметричными. Мы попытаемся здесь в рамках предложенного ранее подхода [4] дать возможное объяснение этому удивительному факту. Насколько нам известно, альтернативные интерпретации пока отсутствуют.

Модельный гамильтониан системы с частичной диэлектризацией электронного спектра имеет вид

$$H = H_0 + H_{MF}. \quad (1)$$

Здесь H_0 — гамильтониан свободных электронов, а гамильтониан молекулярного поля H_{MF} равен

$$H_{MF} = - \sum_{s=1}^2 \sum_{p\alpha} \left[1 + (2\alpha - 1)\Psi \right] \Sigma a_{sp\alpha}^+ a_{s,p+Q,\alpha} + h.c., \quad (2)$$

$\Psi = 0$ (1) для ВЗП (ВСП), $a_{sp\alpha}^+$ ($a_{sp\alpha}$) суть операторы рождения (уничтожения) квазичастицы с импульсом p и проекцией спина α из области s ПФ. Суммирование производится по конгруэнтным участкам ПФ ($s = 1, 2$), где электронный спектр вырожден (Q — вектор ВЗСП, $\hbar = 1$):

$$\xi_1(p) = -\xi_2(p + Q), \quad (3)$$

и как следствие экситонной (кулоновской) или пайерлсовской (электрон-фононной) неустойчивости исходного спектра (3) возникает параметр порядка Σ [1,2,7]. На остальной части ПФ ($s = 3$) спектр квазичастиц $\xi_3(p)$ невырожден. Мы ограничиваемся действительными значениями параметра Σ , поскольку его мнимость

соответствует не наблюдавшимся до сих пор фазам с волнами плотности тока или тока спина [2].

Расчет туннельного квазичастичного тока в переходах с ВЗСП-металлами проводился аналогично работам [4] на основе метода, разработанного для сверхпроводящих переходов [16]. В рамках нашей теории необходимо учитывать три гриновские функции для каждого электрода [7]

$$\begin{aligned} G_{nd}(\mathbf{p}; \omega_n) &= -[i\omega_n + \xi_3(\mathbf{p})] Z_1^{-1}, \\ G_d(\mathbf{p}; \omega_n) &= -[i\omega_n + \xi_1(\mathbf{p})] Z_2^{-1}, \\ G_{is}(\mathbf{p}; \omega_n) &= -\Sigma Z_2^{-1}. \end{aligned} \quad (4)$$

Здесь $Z_1 = \omega_n^2 + \xi_3^2(\mathbf{p})$, $Z_2 = \omega_n^2 + \xi_1^2(\mathbf{p}) + \Sigma^2$, $\omega_n = (2n + 1)\pi T$, T — температура ($k_B = 1$), $n = 0, \pm 1, \pm 2, \dots$, индекс nd соответствует недиэлектризованному участку ПФ, d — диэлектризованным участкам 1 и 2 и is — электрон-дырочному спариванию. В частности, именно функция $G_{is}(\mathbf{p}; \omega_n)$ отвечает за существенную разницу между сверхпроводниками и экситонными (пайерлсовскими) диэлектриками.

Мы ограничиваемся значениями электрического поля ниже пороговых, т.е. предполагаем наличие пиннинга ВЗСП [1]. Все туннельные матричные элементы полагаются равными, так что существует единый параметр электрического сопротивления перехода R [4].

В предыдущей работе [4] были детально проанализированы ВАХ симметричного DM-I-DM перехода, когда параметры обоих электродов полагались одинаковыми. Такой выбор для симметричного перехода естествен, однако не является единственно возможным. Действительно, различные термодинамические свойства диэлектризованных металлов не зависят от знака Σ [7]. Положение вещей весьма сходно с вырождением основного состояния изинговского магнетика по отношению к различным направлениям намагничивания. Любая инфинитезимальная анизотропия (например, в результате внешнего воздействия) может сделать какое-либо из этих состояний предпочтительным. Мы считаем, что подобное явление может иметь место и для ВЗСП-металлов, хотя его нельзя обнаружить для одиночного образца.

Ситуация резко меняется при приведении двух образцов в контакт: если, например, левый электрод характеризуется положительным параметром Σ , а правый — отрицательным с такой же абсолютной величиной, то переход между ними по сути является несимметричным, хотя априорно считается симметричным. Это ключевой пункт нашего анализа. Как будет показано далее, такая конфигурация приводит к несимметричной ВАХ, хотя электроды изготовлены из абсолютно идентичного материала. По сути, это представляет собой новый пример макроскопического проявления нарушения симметрии в многочастичных системах. Естественно, данное явление может наблюдаться только при $T < T_{tr}$.

Расчеты приводят к следующей зависимости квазичастичного тока J от напряжения на переходе

$V = V_{right} - V_{left} > 0$ для указанного выше выбора знаков параметров порядка ($\Sigma_{left} = \Sigma > 0$ и $\Sigma_{right} = -\Sigma < 0$):

$$J(V) = \sum_{i=1}^6 J_i(V), \quad (5)$$

$$\begin{aligned} J_1(V) &= \varkappa_1(\Sigma, \Sigma), & J_2(V) &= \Sigma^2 \varkappa_2(\Sigma, \Sigma), \\ J_3(V) &= 2\nu \varkappa_1(\Sigma, 0), & J_4(V) &= \nu^2 \varkappa_1(0, 0), \\ J_5(V) &= -2\Sigma \varkappa_3(\Sigma, \Sigma), & J_6(V) &= -2\nu \Sigma \varkappa_3(\Sigma, 0). \end{aligned} \quad (6)$$

Здесь

$$\begin{aligned} \varkappa_1(\Sigma_1, \Sigma_2) &= C \int_{-\infty}^{\infty} d\omega f(\omega, eV, T) \\ &\quad \times N(\omega, eV, \Sigma_1, \Sigma_2) |\omega| |\omega - eV|, \end{aligned}$$

$$\begin{aligned} \varkappa_2(\Sigma_1, \Sigma_2) &= C \int_{-\infty}^{\infty} d\omega f(\omega, eV, T) \\ &\quad \times N(\omega, eV, \Sigma_1, \Sigma_2) \operatorname{sgn} \omega \operatorname{sgn} (\omega - eV), \end{aligned}$$

$$\begin{aligned} \varkappa_3(\Sigma_1, \Sigma_2) &= C \int_{-\infty}^{\infty} d\omega f(\omega, eV, T) \\ &\quad \times N(\omega, eV, \Sigma_1, \Sigma_2) |\omega| \operatorname{sgn} (\omega - eV), \end{aligned} \quad (7)$$

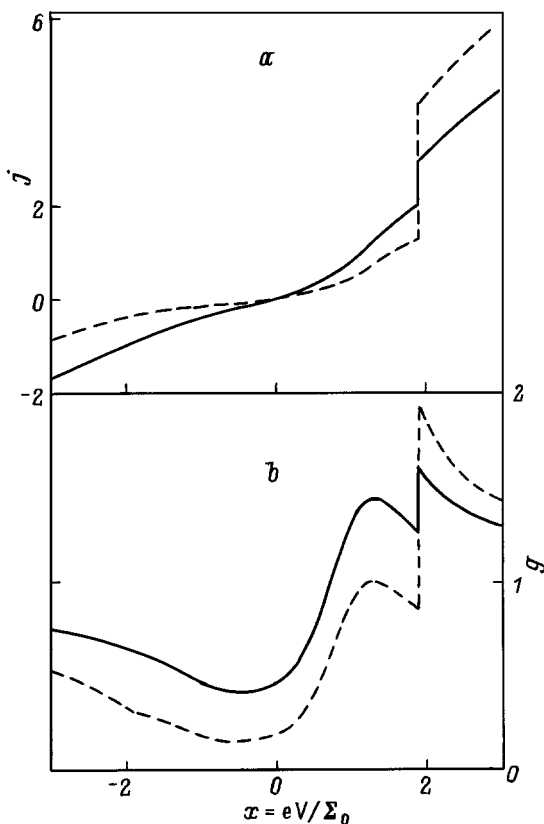
$$f(\omega, eV, T) = \operatorname{th} \frac{\omega - eV}{2T} - \operatorname{th} \frac{\omega}{2T}, \quad (8)$$

$$\begin{aligned} N(\omega, eV, \Sigma_1, \Sigma_2) &= \frac{\theta(|\omega| - \Sigma_1)}{(\omega^2 - \Sigma_1^2)^{1/2}} \\ &\quad \times \frac{\theta(|\omega - eV| - \Sigma_2)}{((\omega - eV)^2 - \Sigma_2^2)^{1/2}}, \end{aligned} \quad (9)$$

$C = -[2eR(1 + \nu)^2]^{-1}$, e — элементарный заряд, $\theta(x)$ — функция Хевисайда, $\nu = N_{nd}(0)/N_d(0)$, $N_{nd}(0)$ и $N_d(0)$ — плотности состояний на недиэлектризованном и диэлектризованных участках ПФ соответственно. В исследованном ранее случае [4], когда существует симметрия между положительными и отрицательными ветвями ВАХ, слагаемые $J_{5,6}(V)$ отсутствуют. Тогда выражение для тока в случае $T = 0$ и при соответствующем предельном переходе согласуется с результатами работы [17].

Компоненты токов $J_i(V)$ имеют различные свойства симметрии, а именно $J_{1-4}(-V) = -J_{1-4}(V)$ и $J_{5,6}(-V) = J_{5,6}(V)$. Таким образом, рассматриваемый полный ток $J(V)$ не имеет определенной симметрии! Если $\Sigma_{left} < 0$ и $\Sigma_{right} > 0$, две ветви ВАХ просто поменяются местами, так же как для несимметричных переходов [4].

При $T = 0$ все компоненты токов выражаются через полные эллиптические интегралы первого и второго



Зависимости безразмерного тока $j = JeR/\Sigma_0$ (a) и безразмерной проводимости $g = dj/dx$ (b) от безразмерного напряжения $x = eV/\Sigma_0$ на туннельном переходе $URu_2Si_2-URu_2Si_2$ с нарушенной симметрией при температуре $T = 0.5T_{tr}$ для разных степеней ν диэлектризации поверхности Ферми (где e — элементарный заряд, R — сопротивление перехода, Σ_0 — модуль диэлектрического параметра порядка при нулевой температуре, T_{tr} — температура диэлектрического перехода). $\nu = 0.4$ (штриховая линия) и 1.5 (сплошная линия).

родов. Если же $T \neq 0$, то возможен только численный расчет. На рисунке представлены рассчитанные для $T/T_{tr} = 0.5$ зависимости безразмерного тока через барьер $j = JeR/\Sigma_0$ (a) и соответствующей проводимости $g = dj/dx$ (b) от безразмерного напряжения на переходе $x = eV/\Sigma_0$, где $\Sigma_0 = |\Sigma(T=0)|$. Температурная зависимость $\Sigma(T)$ предполагалась свойственной теории БКШ для сверхпроводников. Значения параметра $\nu = 0.4$ и 1.5 выбирались согласно имеющимся в литературе различным данным для URu_2Si_2 [18,19].

Сравнение полученных ВАХ с результатами для симметричных переходов в отсутствие нарушения симметрии [4] показывает, что на положительной ветви корневая особенность тока при $eV = \Sigma$ и скачок проводимости при $eV = 2\Sigma$ усиливаются в рассматриваемом случае. На отрицательной же ветви ВАХ соответствующие особенности в результате деструктивной интерференции слагаемых J_6 с J_3 и J_5 с $J_1 + J_2$ практически полностью исчезают. Таким образом, качественный характер кривых $j(x)$ и $g(x)$ для симметричного перехода с нарушенной

симметрией аналогичен ВАХ в несимметричном случае [4]. Из всего вышеизложенного следует, что симметричность DM-I-DM-переходов и соответствующих ВАХ определяется полной эквивалентностью ВЗСП в обоих электродах (включая знаки Σ). Это обстоятельство было упущено из виду в работах [4,20].

Рассчитанные зависимости $g(x)$ качественно согласуются с измеренными в симметричных микроконтактах $URu_2Si_2-URu_2Si_2$ [14]. Экспериментаторы наблюдали как симметричные, так и несимметричные ВАХ в одной и той же серии наблюдений. Это согласуется с нашей концепцией, ввиду термодинамической эквивалентности ВЗСП, отличающихся только знаками параметра порядка [7].

В заключение подчеркнем, что в данной работе предсказан новый вид макроскопического проявления нарушения симметрии в многочастичной системе. Он кардинально отличается от хорошо известных явлений в объемных средах, например магнетиках или сегнетоэлектриках. Действительно, предсказанный эффект можно наблюдать только при включении формально симметричного DM-I-DM перехода в электрическую цепь. Отметим, что здесь не учитывались корреляции джозефсоновского типа, возможные в сильных запороговых электрических полях [1,17].

Авторы благодарны С.Н. Артаменко (ИРЭ РАН, Москва) за ценную информацию. Мы выражаем также благодарность R.S. Markiewicz (Boston), J. van Ruitenbeek (Leiden) и И.К. Янсону (Харьков) за полезные дискуссии.

Работа частично поддержана грантом INTAS 94-3862 и Украинским государственным фондом фундаментальных исследований (грант 2.4/100).

Список литературы

- [1] G. Grüner. Rev. Mod. Phys. **60**, 4, 1129 (1988); **66**, 1, 1 (1994).
- [2] B.I. Halperin, T.M. Rice. Sol. Stat. Phys. **21**, 115 (1968); Ю.В. Копяев. Тр. ФИАН СССР **86**, 3 (1975).
- [3] Tunneling Phenomena in Solids / Ed. E. Burstein and S. Lundqvist. Plenum Press, N. Y. (1969).
- [4] A.M. Gabovich, A.I. Voitenko. Phys. Rev. **B52**, 10, 7437 (1995); Phys. Lett. **A223**, 3, 221 (1996).
- [5] G. Bilbro, W.L. McMillan. Phys. Rev. **B14**, 5, 1887 (1976).
- [6] K. Machida. J. Phys. Soc. Jpn. **50**, 7, 2195 (1981).
- [7] A.M. Gabovich, A.S. Shpigel. J. Low Temp. Phys. **51**, 5/6, 581 (1983); J. Phys. **F14**, 12, 1031 (1984); Phys. Rev. **B38**, 1, 297 (1988).
- [8] X.-Z. Huang, K. Maki. Phys. Rev. **B40**, 4, 2575 (1989); Phys. Rev. **B46**, 1, 162 (1992).
- [9] T. Ekino, J. Akimitsu. Physica **B194-196**, Pt. 1, 1221 (1994).
- [10] J.P. Sorbier, H. Trotel, P. Monceau, F. Levy. Phys. Rev. Lett. **76**, 4, 676 (1996).
- [11] Y. Miyahara, H. Bando, H. Ozaki. J. Phys.: Condens. Matter. **7**, 13, 2553 (1995); J. Phys.: Condens. Matter. **8**, 40, 7453 (1996).

- [12] А.А. Синченко, Ю.И. Латышев, С.Г. Зыбцев, И.Г. Горлова, П. Монсо. Письма в ЖЭТФ **64**, 4, 259 (1996).
- [13] A. Nowack, Yu.G. Naidyuk, P.N. Chubov, I.K. Yanson, A. Menovsky. Z. Phys. **B88**, 3, 295 (1992).
- [14] R. Escudero, F. Morales, P. Lejay. Phys. Rev. **B49**, 21, 15 271 (1994).
- [15] Ю.Г. Найдюк, О.Е. Квитницкая, А. Новак, И.К. Янсон, А.А. Меновский. ФНТ **21**, 3, 310 (1995).
- [16] А.И. Ларкин, Ю.Н. Овчинников. ЖЭТФ **51**, 5(11), 1535 (1966).
- [17] С.Н. Артеменко, А.Ф. Волков. ЖЭТФ **87**, 2(8), 691 (1984).
- [18] T.T.M. Palstra, A.A. Menovsky, J. van den Berg, A.S.J. Dirkmaat, P.H. Kes, G.J. Nieuwenhuys, J.A. Mydosh. Phys. Rev. Lett. **55**, 24, 2727 (1985).
- [19] M.B. Maple, J.W. Chen, Y. Dalichaouch, T. Kohara, C. Rossel, M.S. Torikachvili, N.W. McElfresh. Phys. Rev. Lett. **56**, 2, 185 (1986).
- [20] А.М. Исмагилов, Ю.В. Копаев. ЖЭТФ **96**, 4(10), 1492 (1989).